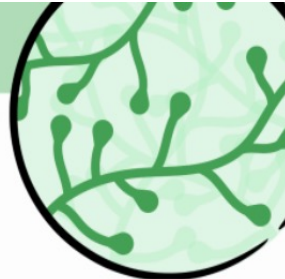




Webinaire national *Candida auris*



RéPIA
Réseau de Prévention des Infections et
de l'Antibiorésistance

Réseau piloté par
 Santé publique France

L'épidémiologie et le diagnostic mycologique

Pr. Alexandre Alanio

Resp. Laboratoire de parasitologie mycologie , Hôpital Saint Louis, APHP

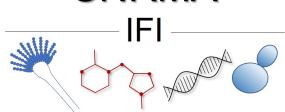
Dir. Adjoint CNR Mycoses Invasives et Antifongiques

Resp Groupe Mycologie translationnelle

Institut Pasteur

CNRMA

IFI



 Université
Paris Cité

 INSTITUT
PASTEUR

Candida auris = *Candidozyma auris*

Persoonia 52, 2024: 22–43
www.ingentaconnect.com/content/nhn/pimj

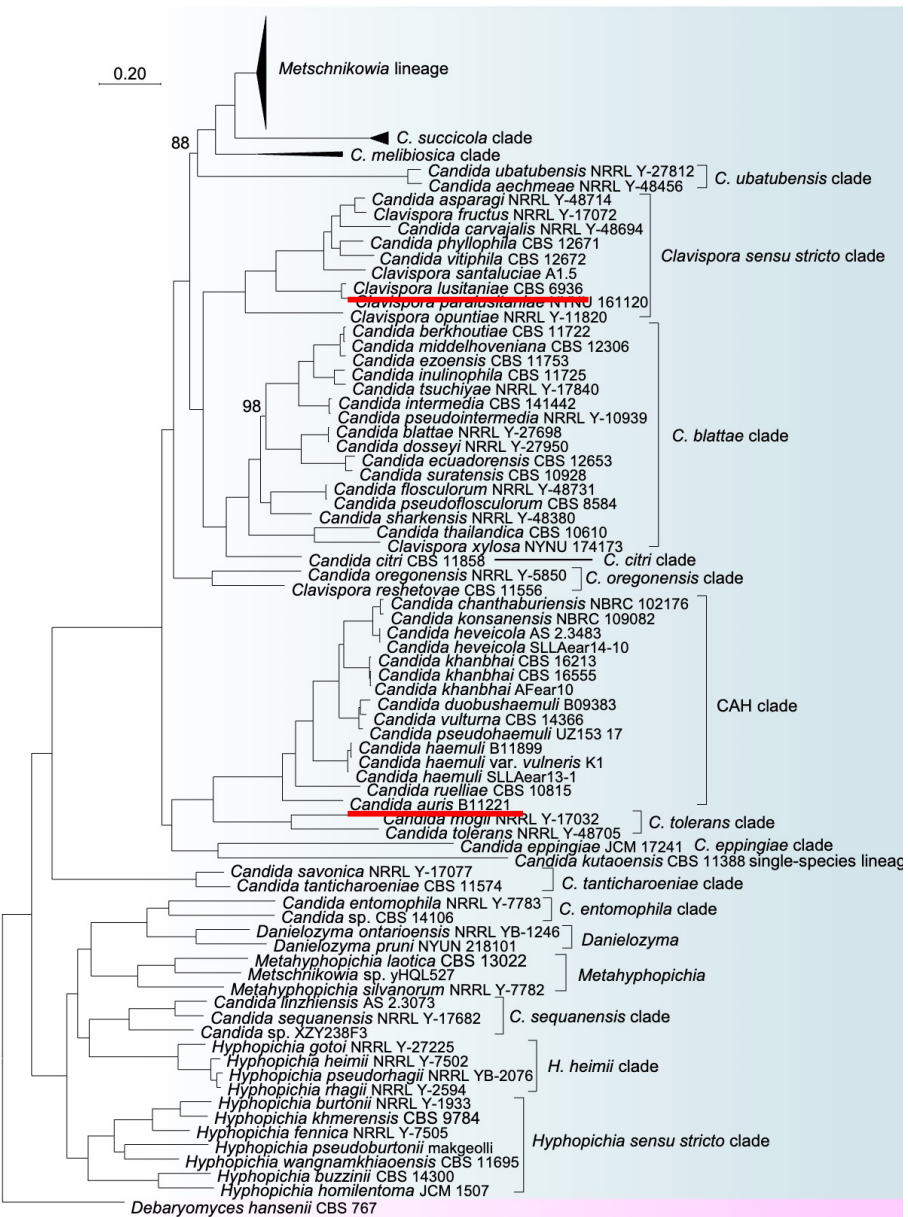
RESEARCH ARTICLE

ISSN (Online) 1878-9080
https://doi.org/10.3767/persoonia.2024.52.02

Phylogenomic analysis of the *Candida auris*-*Candida haemuli* clade and related taxa in the *Metschnikowiaceae*, and proposal of thirteen new genera, fifty-five new combinations and nine new species

F. Liu¹, Z.-D. Hu¹, X.-M. Zhao¹, W.-N. Zhao¹, Z.-X. Feng¹, A. Yurkov², S. Alwasel³,
T. Boekhout^{3,4}, K. Bensch⁵, F.-L. Hui⁶, F.-Y. Bai⁷, Q.-M. Wang^{1,8,9,*}

Clade séparé = nouveau genre
Candida glabrata et *nakaseomyces glabratus*



Candida haemulonii complex

RESEARCH ARTICLE

Candida haemulonii complex, an emerging threat from tropical regions?

Ugo Françoise¹^{✉a}, Marie Desnos-Olivier², Yohann Le Govic¹^{✉b}, Karine Sitbon², Ruddy Valentino³, Sandrine Peugny⁴, Taieb Chouaki⁵, Edith Mazars⁶, André Paugam⁷, Muriel Nicolas⁸, Nicole Desbois-Nogard¹[✉], Olivier Lortholary¹[✉], French Mycoses Study Group¹¹

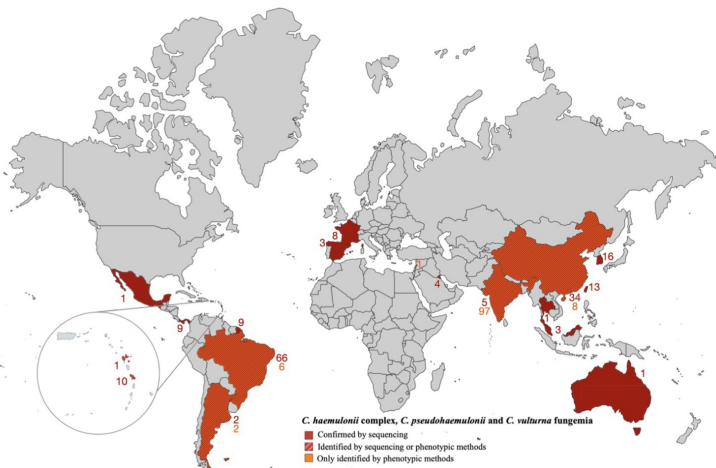
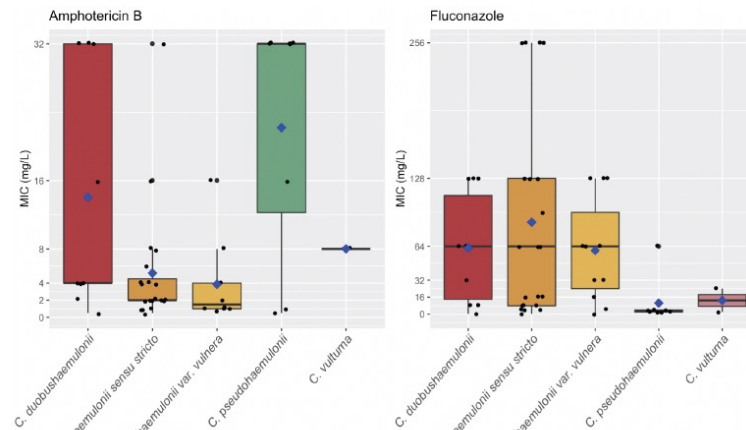


Fig 3. World mapping of cases of fungemia due to *C. haemulonii* complex, *C. pseudoaemulonii* or *C. vulturena*. According to our case series (obtained from the YEASTS program 2002–2021 and the RESSIF Network 2012–2021) and the literature review (Medline, 1962–2022). References are with the S3 Fig. Map created from fla-shop.com (<https://www.flashop.com/svg/>, CC BY 4.0 license) modified with inkscape software.



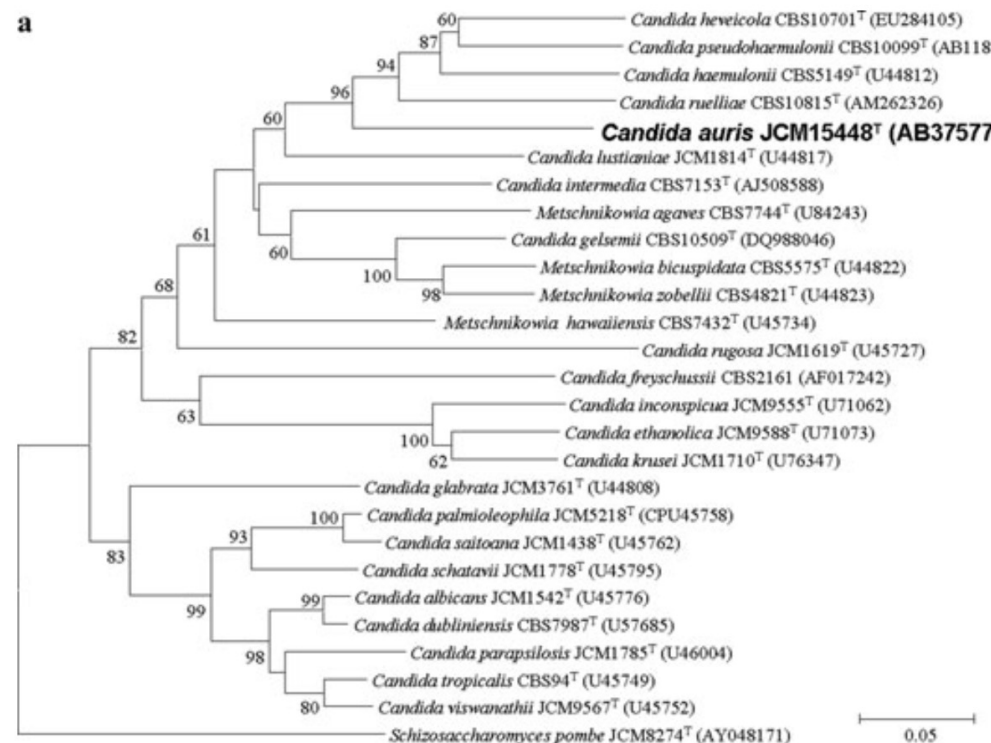
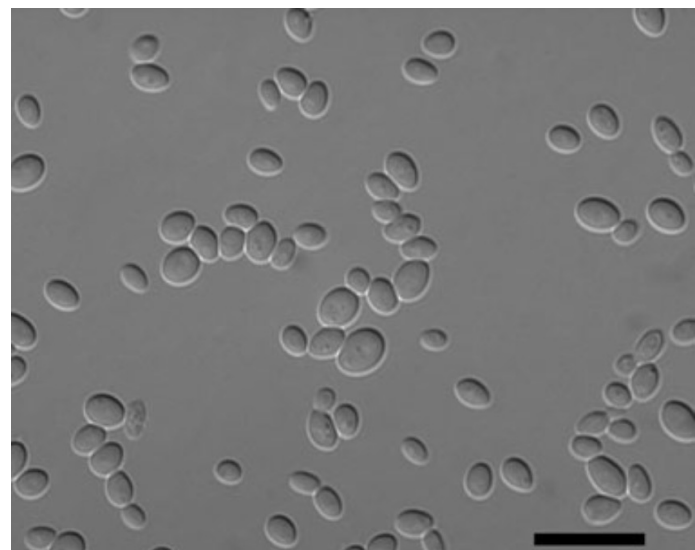
***Candida auris* sp. nov., a novel ascomycetous yeast isolated from the external ear canal of an inpatient in a Japanese hospital**

Microbiol Immunol 2009; 53: 41–44
doi:10.1111/j.1348-0421.2008.00083.x

Kazuo Satoh^{1,2}, Koichi Makimura^{1,3}, Yayoi Hasumi¹, Yayoi Nishiyama¹, Katsuhisa Uchida¹
and Hideyo Yamaguchi¹

¹Teikyo University Institute of Medical Mycology, 359 Otsuka, Hachioji, Tokyo 192-0395, ²Japan Health Sciences Foundation, 13-4 Nihonbashi-Kodenmacho, Chuo-ku, Tokyo 103-0001 and ³Genome Research Center, Graduate School of Medicine and Faculty of Medicine, Teikyo University, Otsuka 359, Hachioji, Tokyo 192-0395, Japan

Conduit auditif externe d'une femme de 70 ans à Tokyo en 2007 CBS10913



Case report

Earliest case of *Candida auris* infection imported in 2007 in Europe from India prior to the 2009 description in Japan

Marie Desnos-Ollivier^{a,*}, Arnaud Fekkar^b, Stéphane Bretagne^{a,c}

Homme rapatrié de réanimation en Inde (New delhi) avec un abcès hépatique en 2007

Hepatic drainage on June 28th yielded purulent liquid without bacteria but with an unidentified *Candida* sent to the NRCMA. Blood cultures were negative. Standardized EUCAST broth microdilution method for susceptibility testing of yeast revealed high minimum inhibitory concentrations (MIC) of fluconazole (≥ 64 mg/L) with lower values for voriconazole (0.5 mg/L), posaconazole (0.125 mg/L), amphotericin B (0.5 mg/L), caspofungin (0.06 mg/L) and micafungin (0.5 mg/L) [2]. Caspofungin was stopped on July 7th. The patient was given posaconazole 400 mg twice a day. The patient died 50 days after intensive cares.

Candida auris Clinical Isolates from South Korea: Identification, Antifungal Susceptibility, and Genotyping

April 2019 Volume 57 Issue 4 e01624-18

Journal of Clinical Microbiology

Yong Jun Kwon,^a Jong Hee Shin,^a Seung A Byun,^a Min Ji Choi,^a Eun Jeong Won,^a Dain Lee,^a Seung Yeob Lee,^a Sejong Chun,^a Jun Hyung Lee,^a Hyun Jung Choi,^a Seung Jung Kee,^a Soo Hyun Kim,^a Myung Geun Shin^a

1996-2018

13 hôpitaux en Corée du Sud

Identification de 61 patients avec *C. auris*

Year	Source/ sample no.	Hospital (no. of isolates)	Erg11p ^b		GenBank accession no. or similar isolate	MLST results for 4 alleles (ITS-RPB1-RPB2-D1/D2) ^e			PFGE type ^c		
			FR ^a	AAS		Allele profile	GenBank accession no. or similar isolate	ST cluster	EK	REAG-N	
1996	Blood/B1	A (1)	R	None	MK294623	a-a-a-a	MK294578 - MK294608 - MK294593 - MK294563	2	K1	N1a	
2006	Ear/E4	A (1)	S	None	MK308826	a-a-a-a	MK308751 - MK308776 - MK308801 - MK308726	2	K1	N1a	
	Ear/E5	A (1)	R	None	MK308828	a-a-a-a	MK308753 - MK308778 - MK308803 - MK308728	2	K1	N1b	
	Ear/E6	A (1)	R	None	MK308829	a-a-a-a	MK308754 - MK308779 - MK308804 - MK308729	2	K1	N1c	
	Ear/E7	A (1)	R	None	MK308830	a-a-a-a	MK308755 - MK308780 - MK308805 - MK308730	2	K1	N1d	
	Ear/E8	A (1)	R	None	MK308831	a-a-a-a	MK308756 - MK308781 - MK308806 - MK308731	2	K1	N1c	
	Ear	A (1)	S	None	MK308827	a-a-a-a	MK308752 - MK308777 - MK308802 - MK308727	2	K1	N1e	
	Ear	A (1)	R	None	MK308832	a-a-a-a	MK308757 - MK308782 - MK308807 - MK308732	2	K1	N1f	
	Ear	A (1)	R	None	MK308833	a-a-a-a	MK308758 - MK308783 - MK308808 - MK308733	2	K1	N1g	
2007	Ear	B (1)	S	None	MK308834	a-a-a-a	MK308759 - MK308784 - MK308809 - MK308734	2	K1	N1h	
	Ear	B (1)	S	None	MK308835	a-a-a-a	MK308760 - MK308785 - MK308810 - MK308735	2	K1	N1c	
	Ear	B (1)	S	None	MK308836	a-a-a-a	MK308761 - MK308786 - MK308811 - MK308736	2	K1	N1i	
	Ear	C (1)	S	None	MK308837	a-a-a-a	MK308762 - MK308787 - MK308812 - MK308737	2	K1	N1c	
	Ear	C (1)	S	None	MK308838	a-a-a-a	MK308763 - MK308788 - MK308813 - MK308738	2	K1	N1d	
	Ear	C (1)	R	None	MK308839	a-a-a-a	MK308764 - MK308789 - MK308814 - MK308739	2	K1	N1j	

Retrospective
description of the first
C. auris cases in Paris
(hepatic abscess)
India

Retrospective
description of the
First *C. auris* cases
in Korea
(Candidemia)

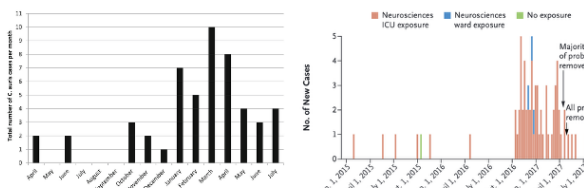
First description in a Japanese patient (External ear canal)

15 strains from South Korea
(otitis)

12 cases from India
(Fungemia)
Kenya
(Fungemia)

USA
(Fungemia)
South Africa
(Fungemia)
Venezuela
(Fungemia)
Koweit
(Fungemia)

First *C. auris*
described in La
Réunion
India

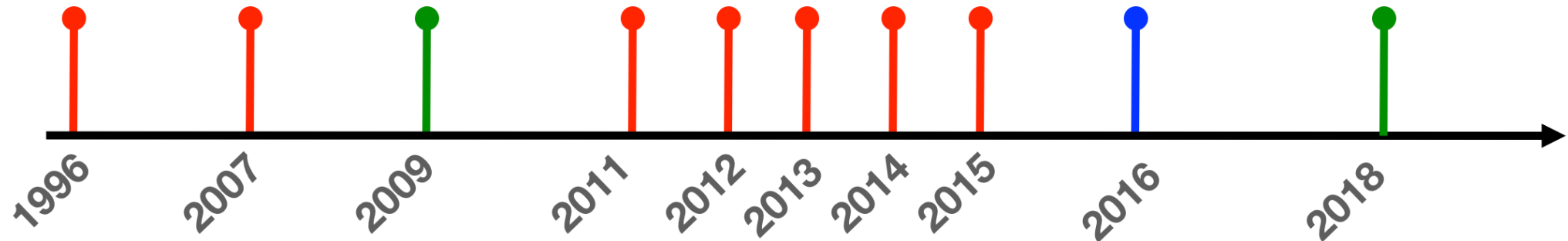


First outbreak
in Europe
London
50 cases

Outbreak
in
Oxford
70 cases

Clinical Alert to U.S. Healthcare Facilities -
June 2016

This clinical alert has been updated. Please read the [September 2017 *C. auris* Clinical Update](#) with important information from investigations of U.S. cases of *C. auris* for clinicians, laboratorians, and public health officials.



Tracing the Evolutionary History and Global Expansion of *Candida auris* Using Population Genomic Analyses

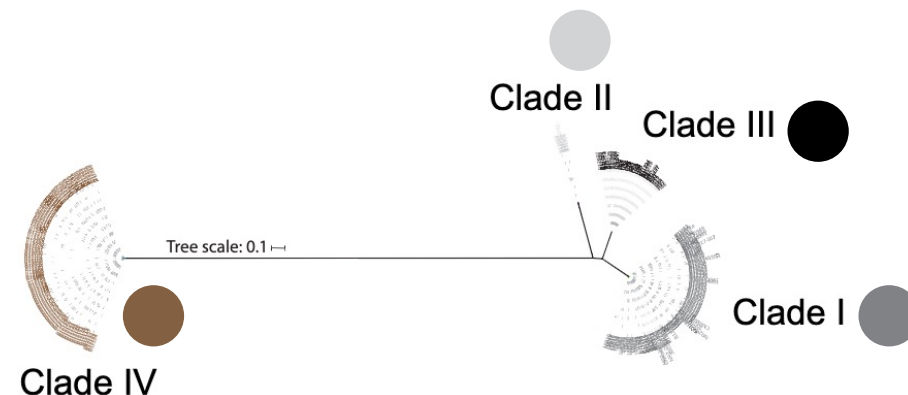
Nancy A. Chow,^a José F. Muñoz,^b Lalitha Gade,^a Elizabeth L. Berkow,^a Xiao Li,^{b*} Rory M. Welsh,^a Kaitlin Forsberg,^a Shawn R. Lockhart,^a Rodney Adam,^c Alexandre Alainio,^{d,e,f} Ana Alastruey-Izquierdo,^g Sahar Althawadi,^h Ana Belén Ronen Ben-Ami,^{j,k} Amrita Bharat,^l Belinda Calvo,^m Marie Desnos-Ollivier,^d Patricia Escandón,ⁿ Dianne Gardam,^o Revathi Gunturu,^c Christopher H. Heath,^{o,p,q,r} Oliver Kurzai,^{s,t} Ronny Martin,^{s,t} Anastasia P. Litvintseva,^a Christina A. Cuomo^b

March/April 2020 Volume 11 Issue 2 e03364-19

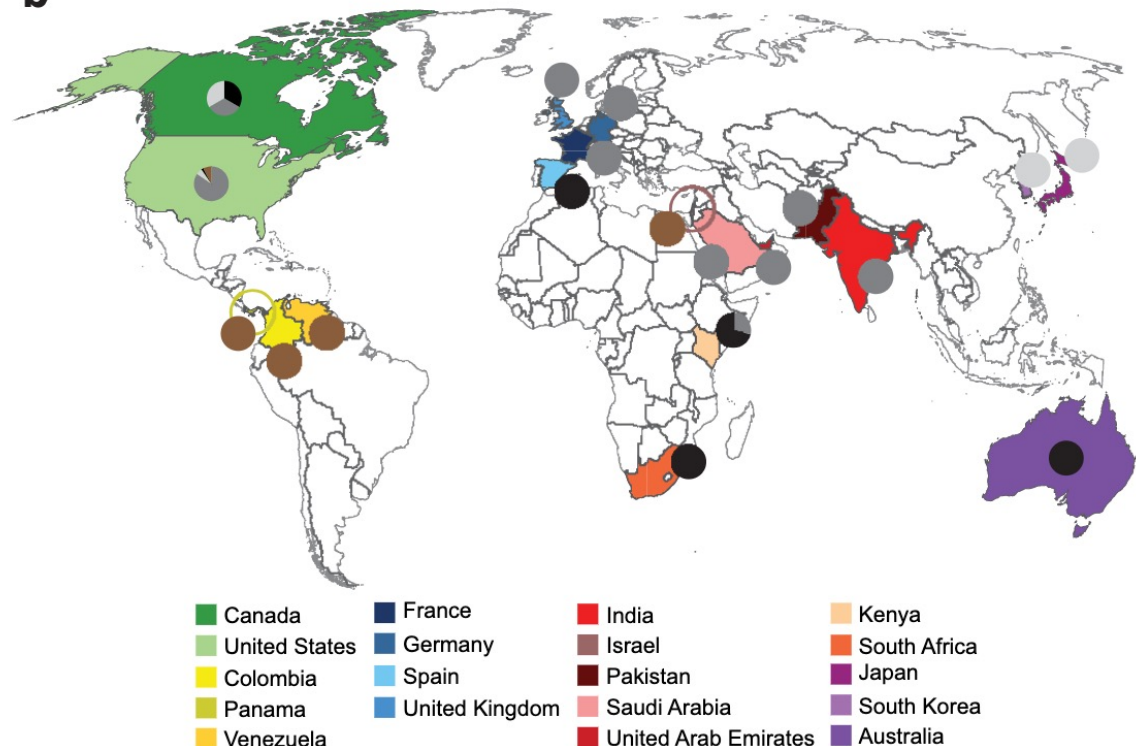
WGS
304 *C. auris* isolates
19 countries
Six continents
6 clades (V Iran + VI Singapour)

Origine de chaque clade = il y a 360 ans
Origine des isolates épidémiques I, III et IV = 36 ans

a



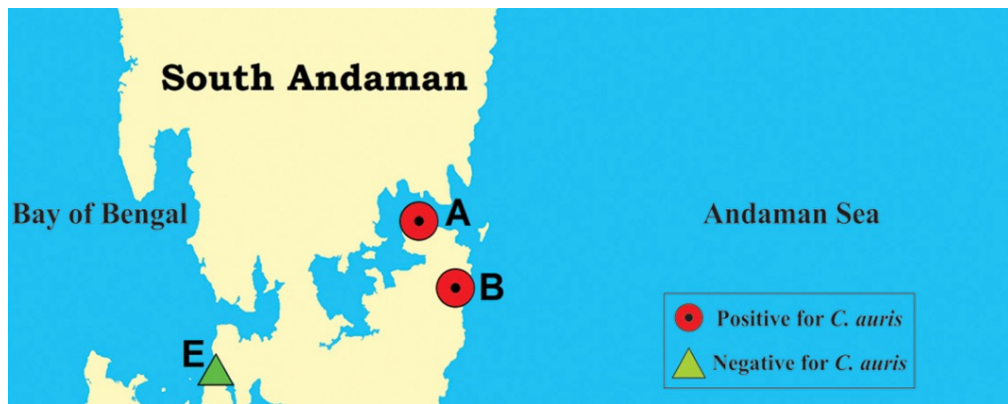
b



Environmental Isolation of *Candida auris* from the Coastal Wetlands of Andaman Islands, India

Parth Arora,^{a,b} Prerna Singh,^a Yue Wang,^c Anamika Yadav,^a Kalpana Pawar,^a Ashutosh Singh,^a Gadi Padmavati,^b Jianping Xu,^c Anuradha Chowdhary^a

March/April 2021 Volume 12 Issue 2 e03181-20 **mBio**



Sampling location	Sampling station	Yeast species isolated (no. of colonies isolated)	Station description
Location I (South Andaman Island)	A (Chatham salt marsh)	<i>Candida auris</i> (n = 2) ^a <i>Trichosporon asahii</i> (n = 4) <i>Arthrographis kalrae</i> ^c (n = 2)	Intertidal habitat along the east coast of SAD, characterized by marshy sediment on the abundant seagrass bed with seabirds; negligible human activity.
	B (Corbyn's Cove)	<i>Candida auris</i> (n = 22) ^b <i>Candida parapsilosis</i> (n = 2)	Upper middle intertidal zone, east coast of SAD, a tourist beach with fine sand sediment

Site A : 1 colonie sensible à tous les antifongiques Clade I

Candida auris on Apples: Diversity and Clinical Significance

Anamika Yadav,^{a,b} Kusum Jain,^{a,b} Yue Wang,^c Kalpana Pawar,^a Hardeep Kaur,^b Krishan Kumar Sharma,^d Vandana Tripathy,^d Ashutosh Singh,^a Jianping Xu,^c Anuradha Chowdhary^a

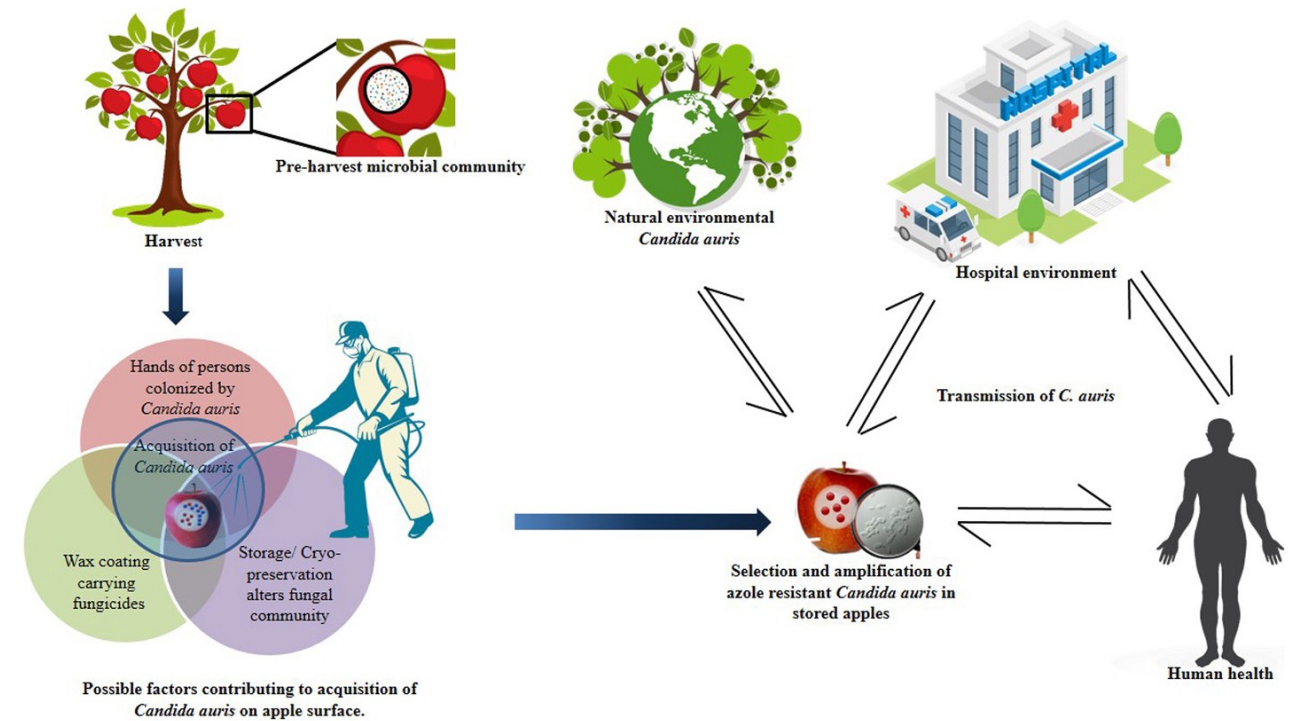
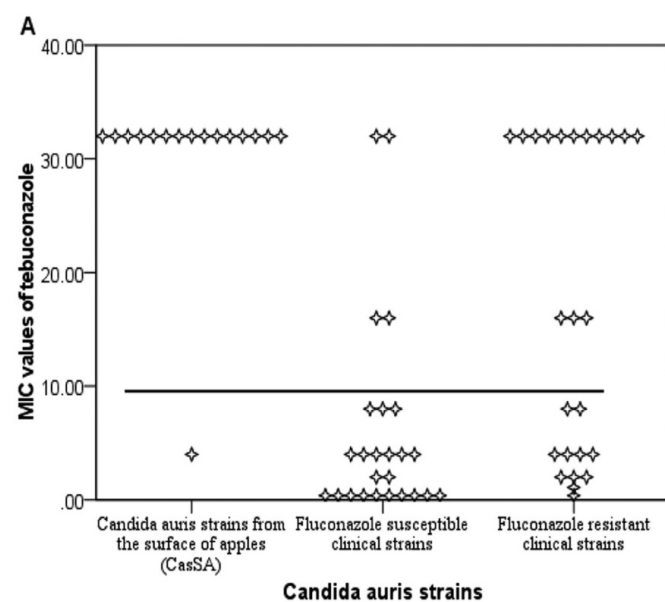
India, New Delhi, vendeurs locaux

Mars 20 à Sept 21

84 fruits testés (écouvillons de surface) / 62 pommes

144 souches de 22 espèces de *Candida*

8 pommes positive à *C. auris*



Original Article

Finding a Needle in a Haystack – In Silico Search for Environmental Traces of *Candida auris*Laszlo Irinyi^{1,2,3}, Michael Roper⁵, Richard Malik⁶, and Wieland Meyer^{1,2,3,4,7*}Table 1. BioProjects in the Sequence Read Archive database of the National Center for Biotechnology Information containing partial ITS sequences of *Candida auris*

Run ID	BioProject ID	Study title	Isolation source	Host	Country	Number of <i>C. auris</i> reads	Total number of reads	ITS region
SRR6480849						93	4,980	
SRR6480848						186	9,750	
SRR6480847				<i>Lissotriton vulgaris</i>		284	40,713	
SRR6480846				(smooth newt)		49	3,882	
SRR6480845						57	4,848	
SRR6480842						47	22,685	
SRR6480841		ITS2 region of fungal species on amphibian skin swabs raw sequence reads				15	14,178	
SRR6480837	PRJNA429422 (23)		Skin		United Kingdom	55	16,343	
SRR6480834						45	20,091	
SRR6480832				<i>Triturus cristatus</i>		2	9,319	
SRR6480828				(great-crested newt)		460	16,298	
SRR6480819						53	10,474	
SRR6480823						65	5,749	
SRR6480822						235	31,526	
SRR6480821						395	16,267	ITS2
SRR10307162	PRJNA577804 (26)	Mycobiome analysis on the skin of dogs affected by otitis	Ear skin	<i>Canis lupus familiaris</i> (dog)	Spain	12	81,213	
DRR061259	PRJDB4852 (25)	MBR microbial community	Metagenome analysis from activated sludge and membrane biofilm		South Korea	1	46,252	
SRR10481409	PRJNA561929 (24)	Airborne dust fungal populations in Kuwait targeted loci				16	155,807	
SRR10481408		Bacterial and fungal communities in root-knot nematode affected peanut field in Florida	Airborne dust		Kuwait	6	9,150	
SRR12158838	PRJNA644000		Peanut field			21	44,060	

Finding *Candida auris* in public metagenomic repositories

Jorge E. Mario-Vasquez¹, Ujwal R. Bagal², Elijah Lowe³, Aleksandr Morgulis⁴, John Phan³, D. Joseph Sexton¹, Sergey Shiryev⁴, Rytis Slatkevičius⁵, Rory Welsh¹, Anastasia P. Litvintseva¹, Matthew Blumberg⁵, Richa Agarwala⁴, Nancy A. Chow^{1*}

PLOS ONE

~300,000 shotgun metagenomic Sequence Read Archive NCBI

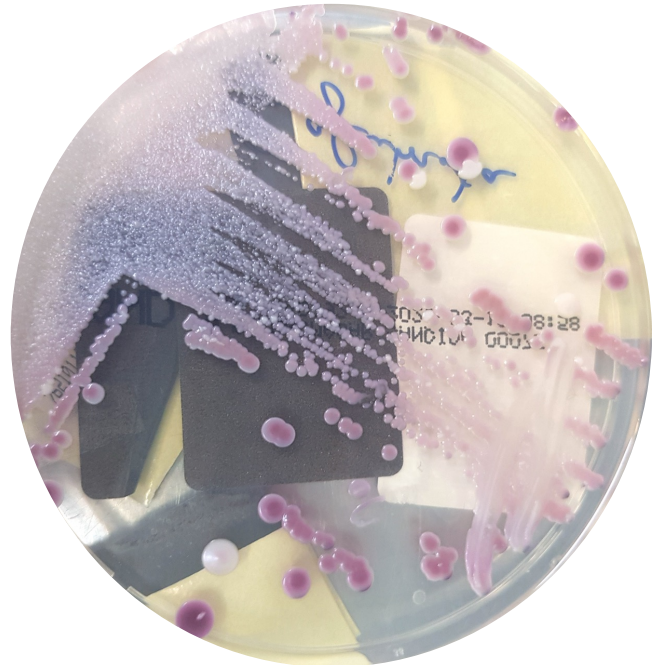
Table 4. Bioproject metadata for samples with WGS data at SRA with *C. auris* positive hits.

Run Record	Score	Release Year	Bioproject	SRA study	Title	Environment or isolation source
SRR8584355	100%	2019	PRJNA488992	SRP159446	Metagenomics of wastewater drains and river samples from Delhi, India	Wastewater drain
SRR8584356	100%					Urban river
SRR9016982	100%	2019	PRJNA657014	SRP277451	Sequencing data from point prevalence study associated with <i>C. auris</i> Raw sequence reads	Combined axilla and inguinal crease (groin) and anterior nares (Human skin metagenome)
SRR9016983	100%					
SRR9016984	100%					
SRR9016985	100%					
SRR10237756	>90%	2019	PRJNA475330	SRP161559	Metagenomic assembly of the iron-reducing, 1-methylnaphthalene-degrading enrichment culture (1MN)	Sulfur-oxidizing nitrate-reducing enrichment culture
SRR11734772	100%	2020	PRJNA631031	SRP260772	Study of microbial diversity of anterior nares swabs from patients colonized by the pathogen <i>Candida auris</i>	Human nasopharyngeal metagenome
SRR11734773	100%					
SRR11734774	100%					
SRR11734775	100%					
SRR11734776	100%					
SRR11734777	100%					
SRR11734778	100%					
SRR11734779	100%					
SRR11734780	100%					
SRR11734781	100%					
SRR11734783	100%					
SRR11734784	100%					
SRR11734785	100%					
SRR11734791	100%					
SRR11734782	>90%					
SRR10680803	>90%	2020	PRJNA557323	SRP237407	Human gut metagenomes from Hong Kong populations	Stool samples (Human gut metagenome)
SRR10680804						

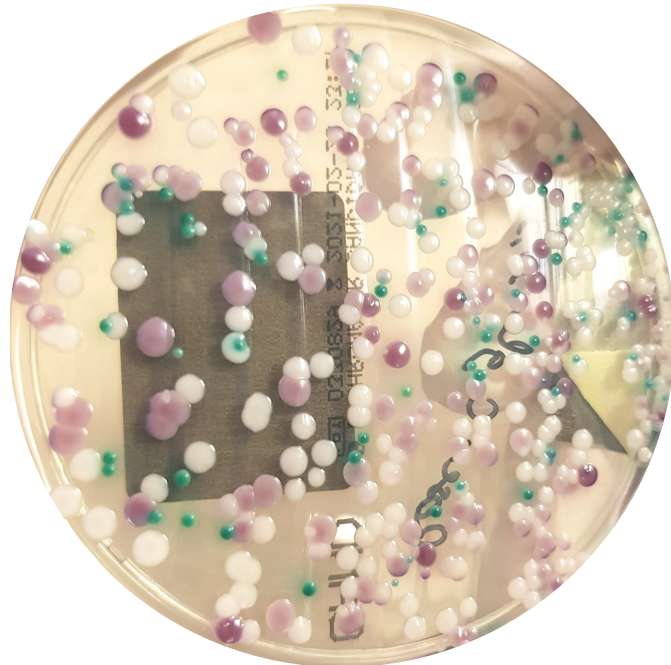
<https://doi.org/10.1371/journal.pone.0291406.t004>

<https://www.gridrepublic.org/biosurveillance/>

Aspect des cultures sur milieux chromogènes *Candida*



J+7 blood culture



J+5 skin swab culture

MALDI-TOF positif à J+7 (Bruker, Vitek-MS)



CHROMagar™ Candida Plus: A novel chromogenic agar that permits the rapid identification of *Candida auris*

Andrew M Borman*, Mark Fraser and Elizabeth M. Johnson

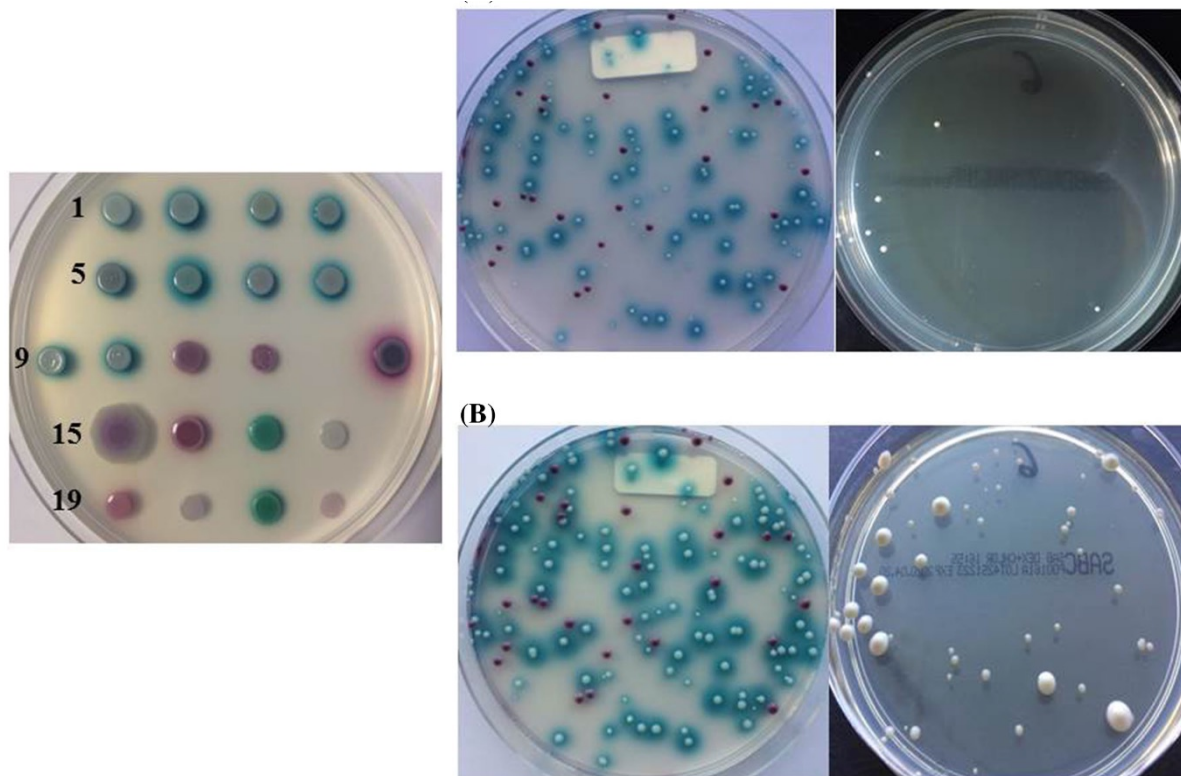
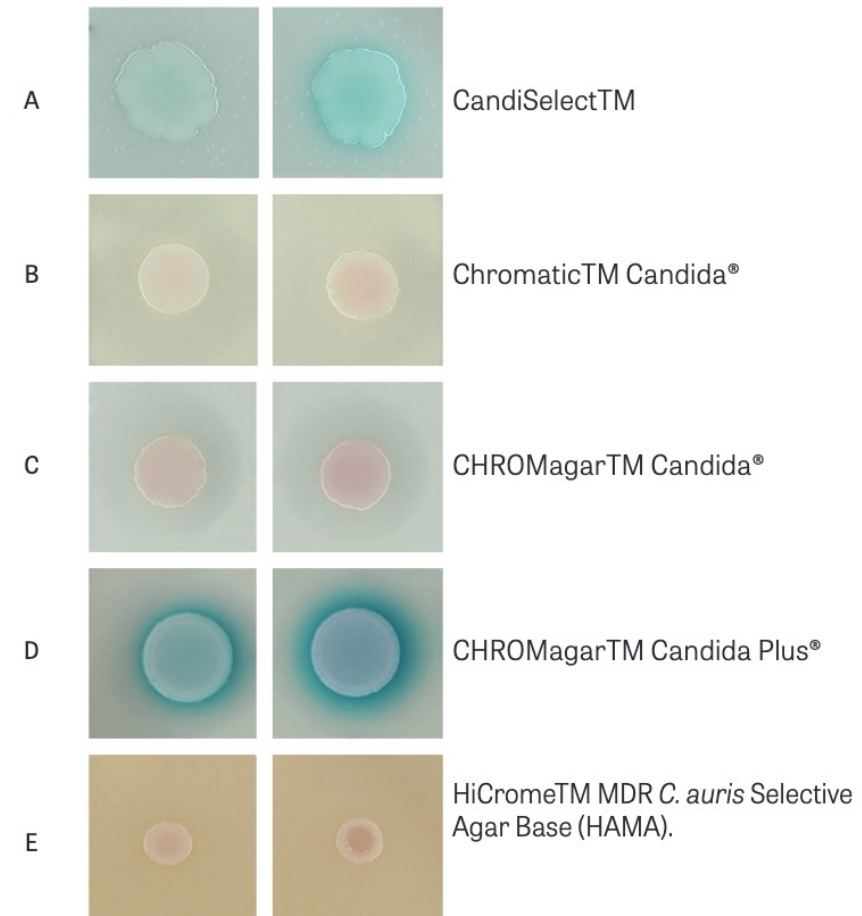


Figure 2 – Aspects des colonies de *Candida auris* sur différents milieux chromogènes.



Salt Sabouraud Enrichment Broth (2% glucose, 10% NaCl)

5 g pancreatic digest of casein (Remel, Lenexa, KS, USA), 5 g peptic digest of animal tissue (Neogen, Lansing, MI, USA), and **100 g sodium chloride (NaCl)** dissolved in a liter of deionized (DI) water with 20 g of either dextrose, dulcitol/galactitol, or mannitol (Difco, Franklin Lakes, NJ, USA) as the added carbon source

TABLE 2 Growth results for clinical samples positive for *C. auris* that were directly plated on CHROMagar Candida and processed through the enrichment broth procedure for isolation of *C. auris*

Specimen type	Positive by CHROMagar Candida (% positive) ^a	Positive by Salt SAB Dex broth (% positive)
Vaginal swab	1 (100)	1 (100)
Stool	1 (100)	1 (100)
Urine	2 (100)	2 (100)
Rectal swab	2 (100)	2 (100)
Environmental swab	2 (40)	5 (100)
Groin swab	6 (86)	7 (100)
Nasal swab	5 (63)	8 (100)
Axilla swab	7 (87)	8 (100)
Axilla/groin composite swab	30 (68)	43 (100)
Total specimens tested	56 (73)	77 (100)

^aPercentage of specimens that were found positive by both methods.



40°C 250 rpm agitation

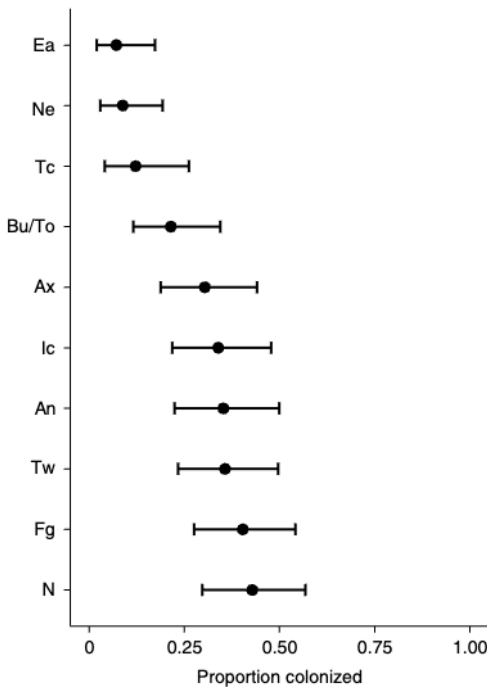
Welsh et al. 2019 JCM

L'idéal de la culture à *C. auris*

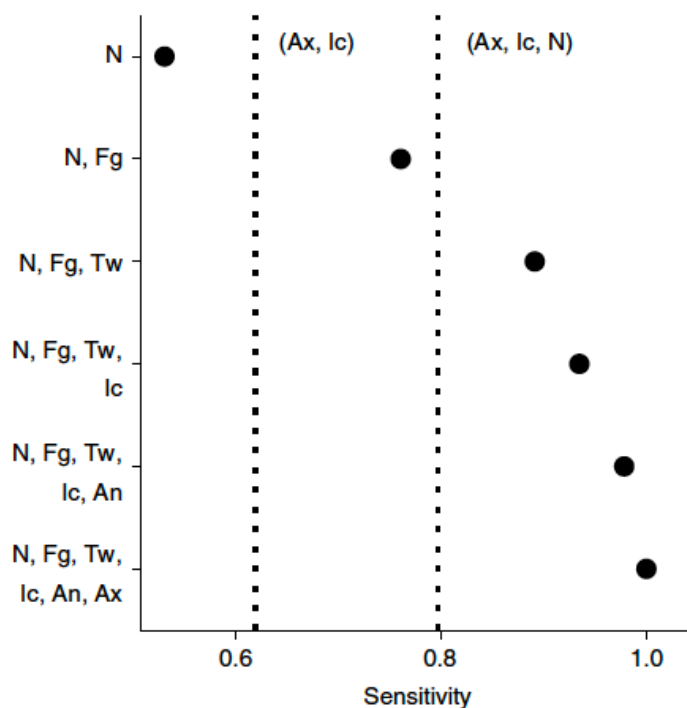
- 40°C (température sélective)
- 10% Salt Sabouraud/YNB Dulcitol broth (selectif)
- 10 jours d'incubation

Inefficient pour le dépistage

Quels prélèvements pour le dépistage?



An, perianal skin; Ax, axilla; Bu, buccal mucosa;
 Ea, external auditory canal; Fg, palm and/or
 fingertips; Ic, inguinal crease; N, anterior
 nares; Ne, neck; Tc, tracheostomy; To, tongue;
 Tw, toe web



Proctor et al. Nature Med 2021

Integrated genomic, epidemiologic investigation of *Candida auris* skin colonization in a skilled nursing facility

Diana M. Proctor , Thelma Dangana², D. Joseph Sexton³, Christine Fukuda², Rachel D. Yelin², Mary Stanley², Pamela B. Bell², Sangeetha Baskaran², Clay Deming¹, Qiong Chen¹, Sean Conlan¹, Morgan Park⁴, NISC Comparative Sequencing Program⁵, Rory M. Welsh³, Snigdha Vallabhaneni^{3,6}, Tom Chiller², Kaitlin Forsberg³, Stephanie R. Black⁶, Massimo Pacilli⁶, Heidi H. Kong , Michael Y. Lin², Michael E. Schoeny⁸, Anastasia P. Litvintseva³, Julia A. Segre and Mary K. Hayden

Nursing home
C. auris endemic
 Clade IV
 Chlorhexidine baths

qPCR disponibles

Rapid and Accurate Molecular Identification of the Emerging Multidrug-Resistant Pathogen *Candida auris*

Milena Kordalewska,^a Yanan Zhao,^a Shawn R. Lockhart,^b Anuradha Chowdhary,^c Indira Berrio,^{d,e,f} David S. Perlin^a

A TaqMan Probe-Based Real-Time PCR Assay for the Rapid Identification of the Emerging Multidrug-Resistant Pathogen *Candida auris* on the BD Max System

Amorce Lima,^a Raymond Widen,^a Grant Vestal,^a Dominic Uy,^a Suzane Silbert^a

Development and Validation of a Real-Time PCR Assay for Rapid Detection of *Candida auris* from Surveillance Samples

L. Leach,^a Y. Zhu,^a S. Chaturvedi^{a,b}

Article

Comparison of Two Commercially Available qPCR Kits for the Detection of *Candida auris*

Janko Sattler^{1,2,†}, Janina Noster^{3,†}, Anne Brunke^{1,2}, Georg Plum¹, Pia Wiegel¹, Oliver Kurzai^{4,5}, Jacques F. Meis^{6,7} and Axel Hamprecht^{1,2,3,*}

Tableau I – Kits commerciaux de PCR pour l'identification de *C. auris*, leur technique et performances.

Kit	Technique	Prélèvement	Performances	Référence
AurisID® (Olm Diagnostics, Newcastle Upon Tyne, Royaume-Uni)	Avec sondes et amores (28S ribosomal gene region) Résultats en 45 minutes		Limite de détection : 1 copie par réaction Faux positifs possibles	[21]
Fungiplex® RUO (Bruker, Billerica, MA, États-Unis)	Avec sondes et amores (mating locus alpha*) Résultats en 2 heures	À partir d'une colonie suspecte en culture et tous types de prélèvements	Limite de détection : 9 copies par réaction Pas de faux positif	[21]
CanAur Monodose dtec-qPCR Test (Genetic PCR Solution, Orihuela, Espagne)	Résultats en 45 minutes		100% de Se et Sp Limite de détection : 1 copie par réaction	[22]
<i>Candida auris</i> kit BD Max™ System (BioGX, Birmingham, AL, États-Unis)	Avec sondes et amores (ITS 1/2)		100% de Se et Sp	[23]

ITS : internal transcribed spacer ; RUO : research use only ; Se : sensibilité ; Sp : spécificité.

Note Centre National de Référence des Mycoses invasives & Antifongiques (CNRMA)/de la Société Française de Mycologie Médicale (SFMM)/Société Française d'Hygiène Hospitalière (SF2H)

En cas de colonisation ou d'infection à *Candida auris* dans un centre

- Déclaration par le mycologue de l'hôpital au CNRMA
- Envoi de la souche au CNRMA
- Déclaration simultanée par l'hygiéniste de l'hôpital par e-SIN à SPF

Indications de dépistage de *Candida auris* par culture d'écouvillons **inguinal, axillaire et nasal sont préconisés pour tout patient:**

- Hospitalisé dans les 12 mois précédents, notamment pour les patients rapatriés d'une réanimation d'un pays étranger.
- Dépistage à réitérer si réadmission dans les 12 mois suivant le retour.
- Antérieurement colonisé ou infecté par *C. auris*

Objet : Note du Centre National de Référence des Mycoses invasives & Antifongiques (CNRMA)/LA INuSuAl (Identification Numérique Surveillance Alerte)/ et de la Société Française de Mycologie Médicale (SFMM)/Société Française d'Hygiène Hospitalière (SF2H) sur l'épidémiologie et la surveillance des infections à *Candida auris* en France: Mise à jour du 17/04/2023

Utilisation de la qPCR

Si découverte fortuite ou contexte épidémique, pour dépister les cas contact, en plus de la culture, une approche de criblage par qPCR spécifique permet une identification rapide, qui devra être confirmée par culture.

- Doit motiver une recherche du *C. auris* en culture par échantillonnage extensif
- Détection d'ADN ≠ détection de levures vivantes (persistance longue d'ADN sur les surfaces en plus d'une persistance longue de la levure sur les surfaces) *Détection d'ADN possible sans culture positive*
- Sensibilité clinique non connue (mais patient culture positive = PCR positive sur presque tous les sites)
- Screening culture et PCR peuvent être négatifs chez un patient exposé développant secondairement une colonisation (J41-61)

Utilisation de la qPCR

Interprétation d'une qPCR spécifique *C. auris* positive. Une PCR positive doit être confirmée par une culture. Un patient dont le prélèvement est positif en qPCR et négatif en culture doit être à nouveau prélevé sur d'autres sites pour culture et/ou PCR (urines, écouvillon rectal, bouche, paumes et plantes), afin de maximiser la possibilité d'une culture positive. Un volume suffisant doit être ensemencé (100 µL) après centrifugation du liquide d'écouvillon et la culture doit être conservée au minimum 10 jours à 35-40 °C (si possible 37°-40°) avant d'être considérée négative.

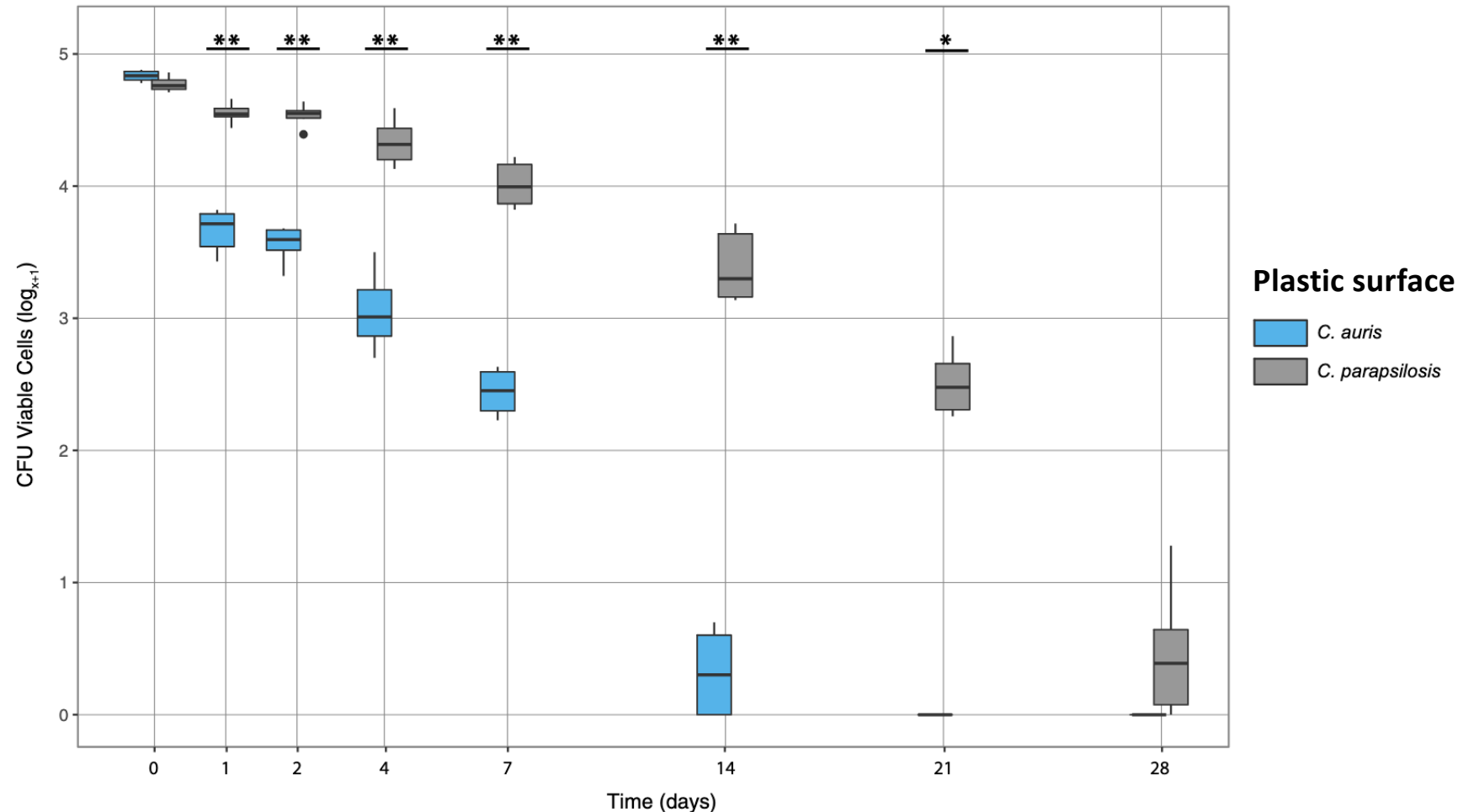
Si culture + : cas certain

Si PCR+/culture - : cas possible → renouveler et élargir les sites de prélèvements

. si 1 seule PCR+ suivie d'au moins 4 PCR et cultures négatives à une semaine d'intervalle : pas de portage

. si au moins 2 PCR+ : cas possible. Les mesures de contrôle de la diffusion sont alors à définir avec l'EOH et le service de mycologie/microbiologie.

Persistance dans l'environnement

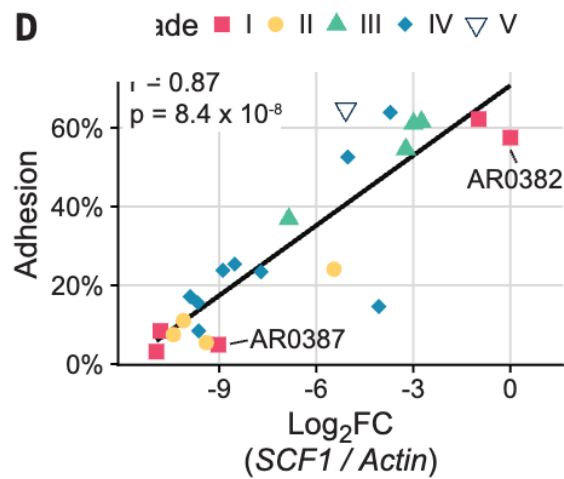
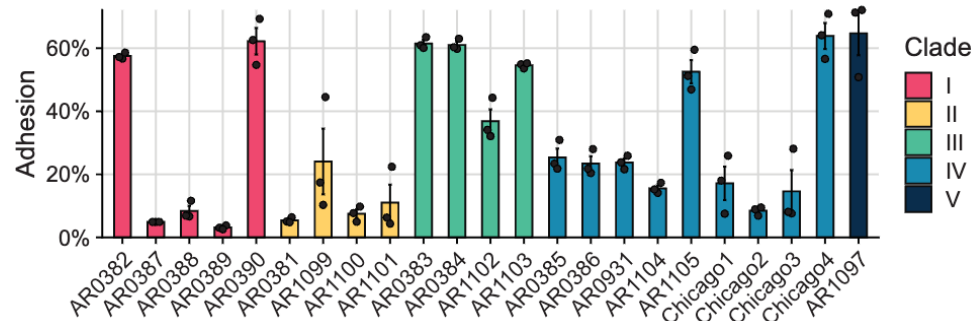


Welsh et al. 2019 JCM

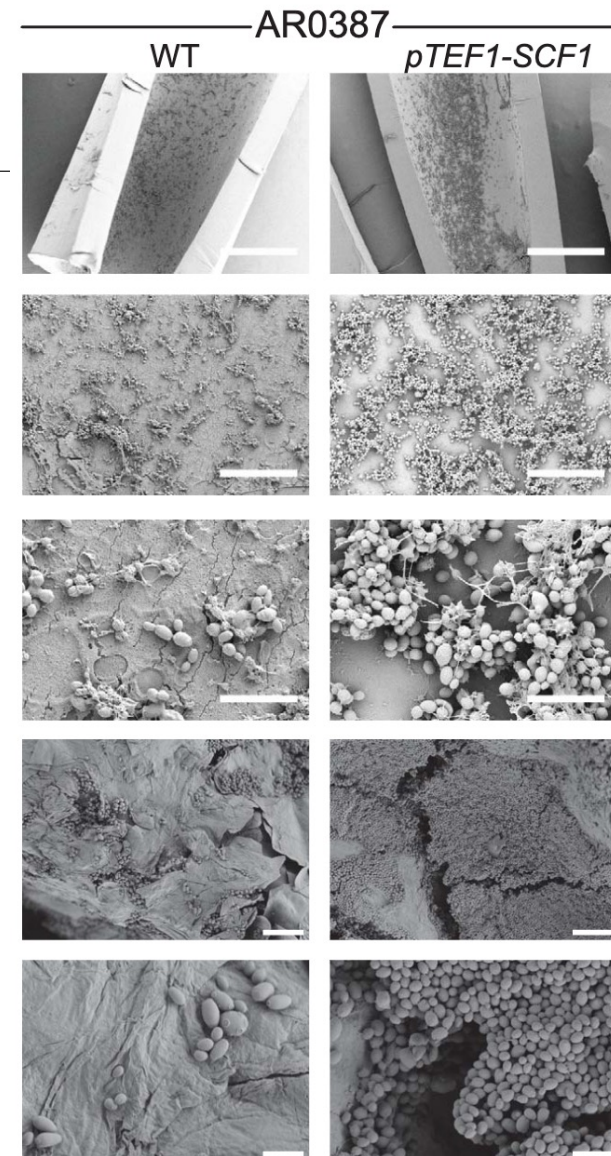
MYCOSES

A *Candida auris*-specific adhesin, Scf1, governs surface association, colonization, and virulence

Darian J. Santana^{1,2}, Juliet A. E. Anku^{1,3,4}, Guolei Zhao¹, Robert Zarnowski^{5,6}, Chad J. Johnson^{5,6}, Haley Hautau⁷, Noelle D. Visser^{1†}, Ashraf S. Ibrahim^{7,8}, David Andes^{5,6}, Jeniel E. Nett^{5,6}, Shakti Singh^{7,8}, Teresa R. O'Meara^{1*}



Santana *et al.*, *Science* **381**, 1461–1467 (2023)



Sensibilité aux antifongiques

- Tentative Breakpoint technique CLSI (valable pour Etest) (<https://www.cdc.gov/candida-auris/hcp/laboratories/antifungal-susceptibility-testing.html>) :

- Fluconazole $\geq 32\text{mg/L}$
- Amphotéricin B $\geq 2\text{mg/L}$
- Caspofungin $\geq 2\text{mg/L}$
- Micafungin $\geq 4\text{mg/L}$

Version 5.0, valid from 2024-12-02

Species	Drug	ECOFF (mg/L)	Clinical Breakpoints (mg/L)			
		WT \leq	S \leq	I	R $>$	ATU
<i>C. albicans</i>	Amphotericin B	1	1		1	
	Anidulafungin	0.016	0.016		0.016	
	Micafungin	0.03	0.03		0.03	
	Rezafungin	0.008	0.008		0.008	
	Fluconazole	0.5	2	4	4	
	Isavuconazole	ND	ND		ND	
	Itraconazole	0.03	0.06		0.06	
	Posaconazole	0.06	0.06		0.06	
	Voriconazole	0.03	0.06	0.125-0.25	0.25	
<i>C. auris</i>	Amphotericin B	2				
	Anidulafungin	0.25				
	Micafungin	0.25				
	Rezafungin	0.125				
	Fluconazole					
	Isavuconazole					
	Itraconazole					
	Posaconazole					
	Voriconazole					
	5-flucytosine	0.5				

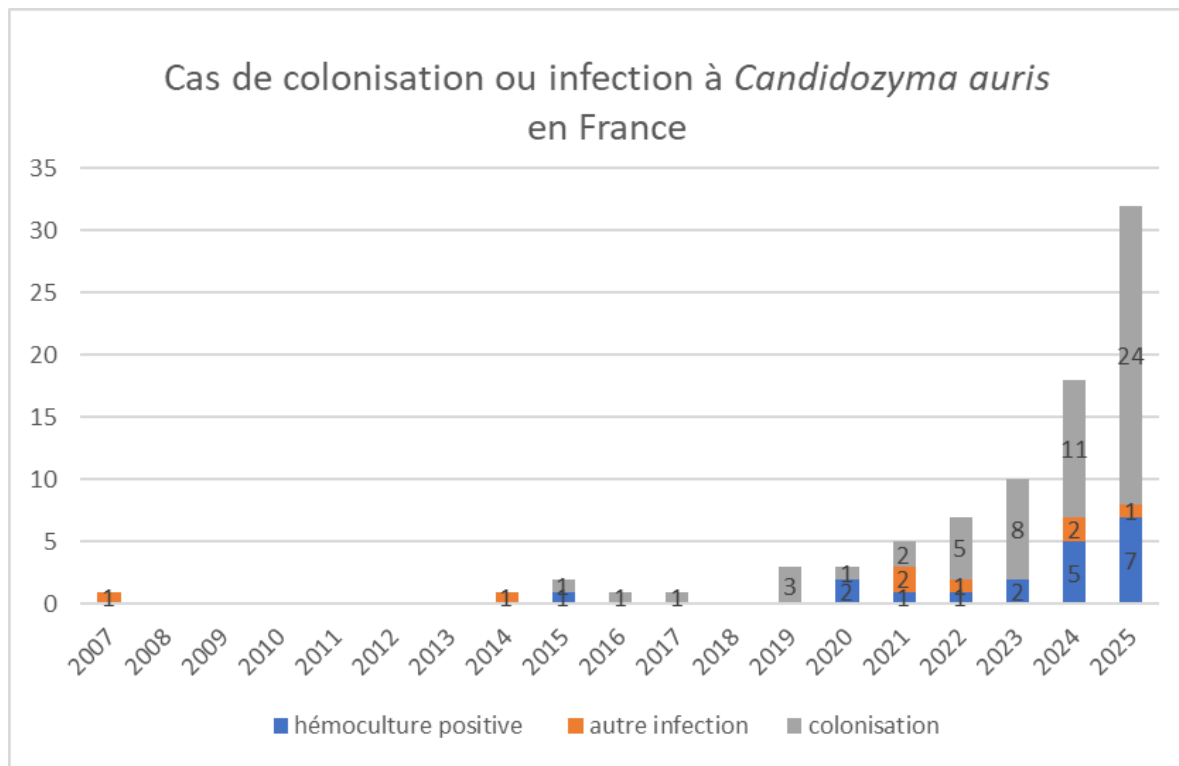
https://www.eucast.org/fileadmin/src/media/PDFs/EUCAST_files/AFST/Clinical_breakpoints/BP_ECOFF_v5.0.pdf

Sensibilité *in vitro* des souches de *C. auris* reçues au CNRMA (EUCAST)

- 3 isolats environnementaux Clade I
- 50 isolats cliniques de 34 patients Clade I et Clade III
- Tous résistants au fluconazole (CMI ≥ 64 mg/L)
- **Aucun isolat CMI élevée aux échinocandines ni à l'amphotéricinB**

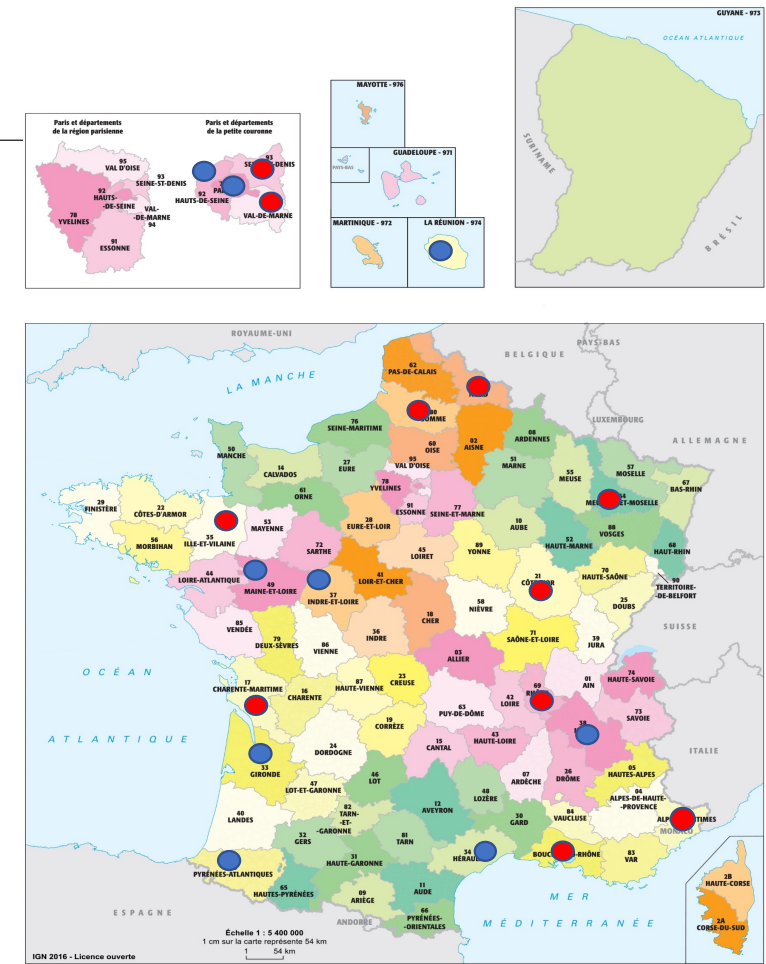
Valeurs des CMI ₅₀ / CMI ₉₀ (mg/L) pour les antifongiques de 53 isolats de <i>Candida auris</i>								
	AMB	5-FC	Fluco	Vori	Posa	Isavu	Caspo	Mica
Clade I (n=43)	1/1	$\leq 0.12/\geq 64$	$64/\geq 64$	1/2	0,03/0,125	0,06/0,25	0,03/0,03	0,25/0,5
Clade III (n=10)	0,5/-	0,124/0,25	$\geq 64/\geq 64$	1/2	0,06/-	0,06/0,125	0,015/0,03	0,25/-

Candidozyma auris en France



19 candidémies, 8 infections autres, 57 colonisations depuis 2007
 > 23 hôpitaux

<https://www.pasteur.fr/fr/sante-publique/centres-nationaux-reference/cnr/mycoses-invasives-antifongiques/actualites-epidemiologiques>



Pays d'importation des cas déclarés en France depuis 2007



Cas importés 35/57 (« nouveaux pays depuis 2023 » : Ukraine (Clade III), Grèce)

Comparative Outcomes of *Candida auris* Bloodstream Infections: A Multicenter Retrospective Case-Control Study

e1436 • CID 2023:76 (1 February) • Simon et al

Samuel P. Simon,¹ Rosanna Li,¹ Michael Silver,¹ Justin Andrade,² Biju Tharian,³ Lung Fu,¹ Diana Villanueva,³ Daniel Gonzalez Abascal,³ Ariel Mayer,¹ James Truong,² Nilka Figueroa,³ Monica Ghitani,¹ Edward Chapnick,¹ and Yu Shia Lin¹

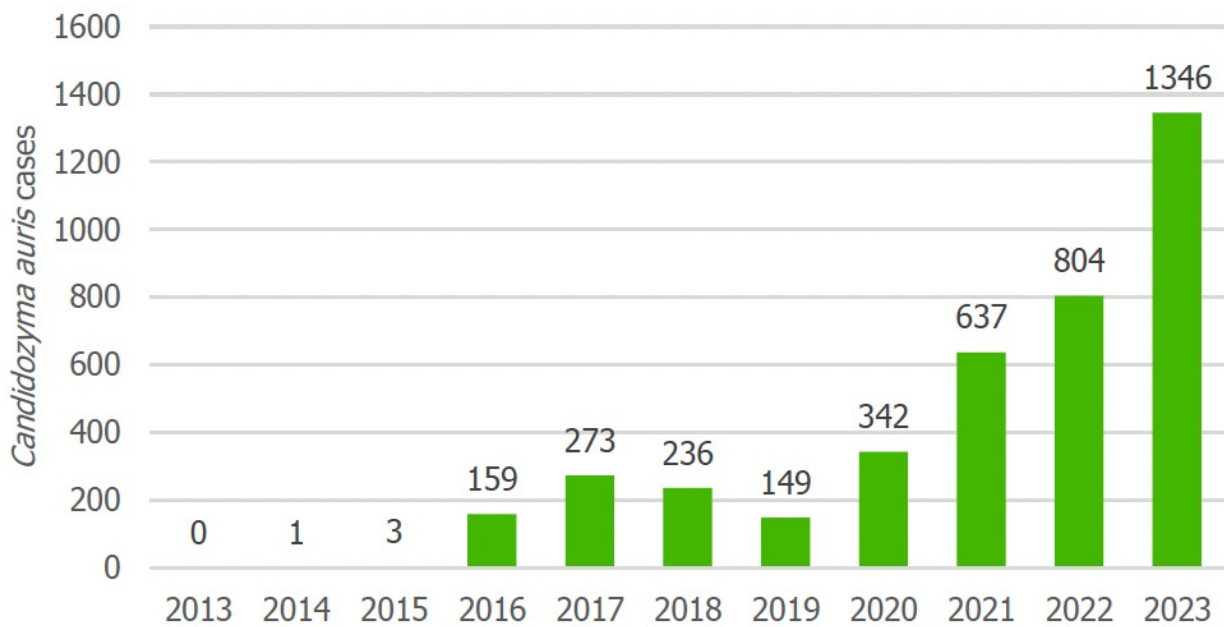
Outcome	Patients, No. (%)			P Value	aOR (95% CI)	P Value
	<i>Candida auris</i> (n=83)	Other <i>Candida</i> spp. (n=113)				
30-d mortality rate	25 (30.1)	44 (38.9)		.20	1.014 (.563–1.828)	.96
In-hospital mortality rate	37 (44.6)	48 (42.4)		.76	1.40 (.787–2.489)	.25
90-d mortality rate	37 (44.6)	53 (46.9)		.75	0.863 (.478–1.558)	.62
14-d clinical failure	21 (25.3)	36 (31.9)		.32	1.28 (.698–2.364)	.42
60-d microbiologic recurrence	8/67(11.9)	3/75 (4.0)		.08	4.461 (1.033–19.263)	.04
Sequelae of candidemia						
Endophthalmitis	0 (0)	2 (1.8)		.51
Persistently positive blood cultures	9 (10.8)	22 (19.5)		.10
Endocarditis (confirmed)	2 (2.4)	3 (2.7)		>.99
Endocarditis (probable)	4 (4.8)	2 (1.8)		.24

Abbreviations: aOR, adjusted odds ratio; CI, confidence interval.

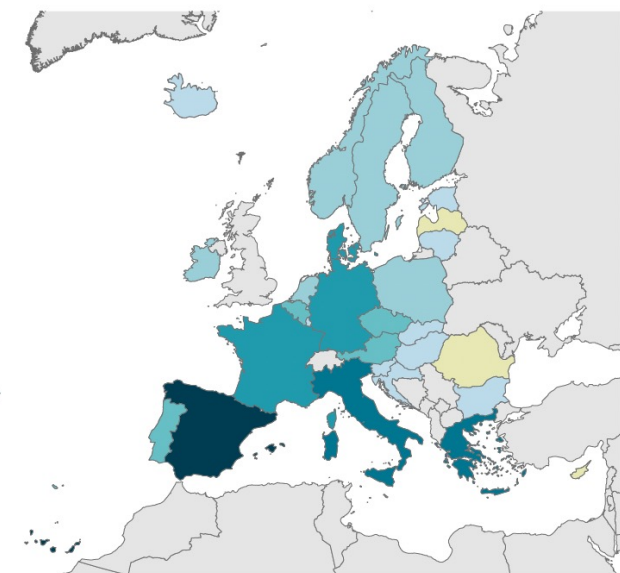
SURVEILLANCE AND MONITORING

Survey on the epidemiological situation, laboratory capacity and preparedness for *Candidozyma* (*Candida*) auris, 2024

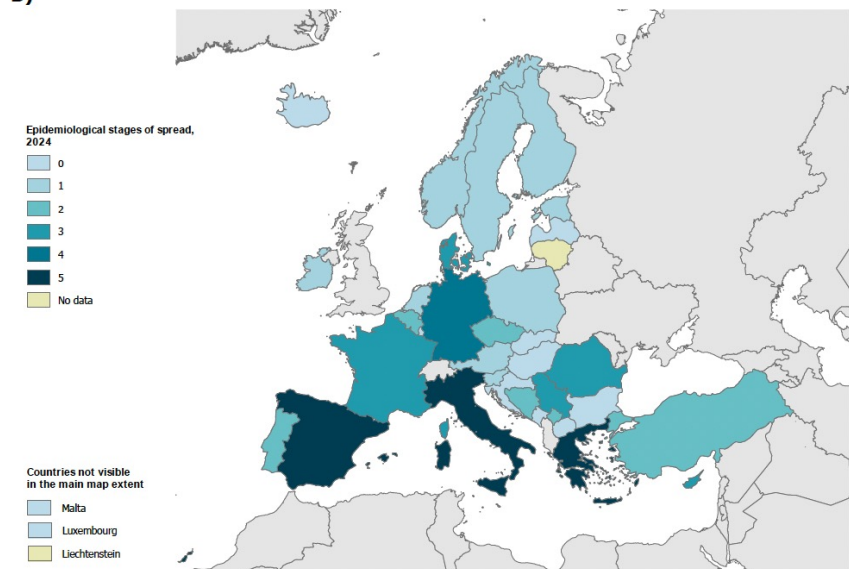
11 September 2025



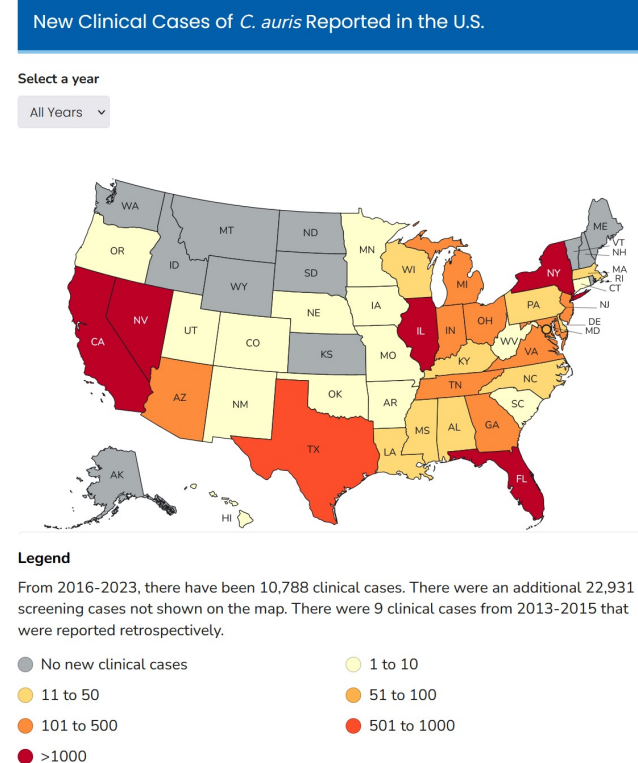
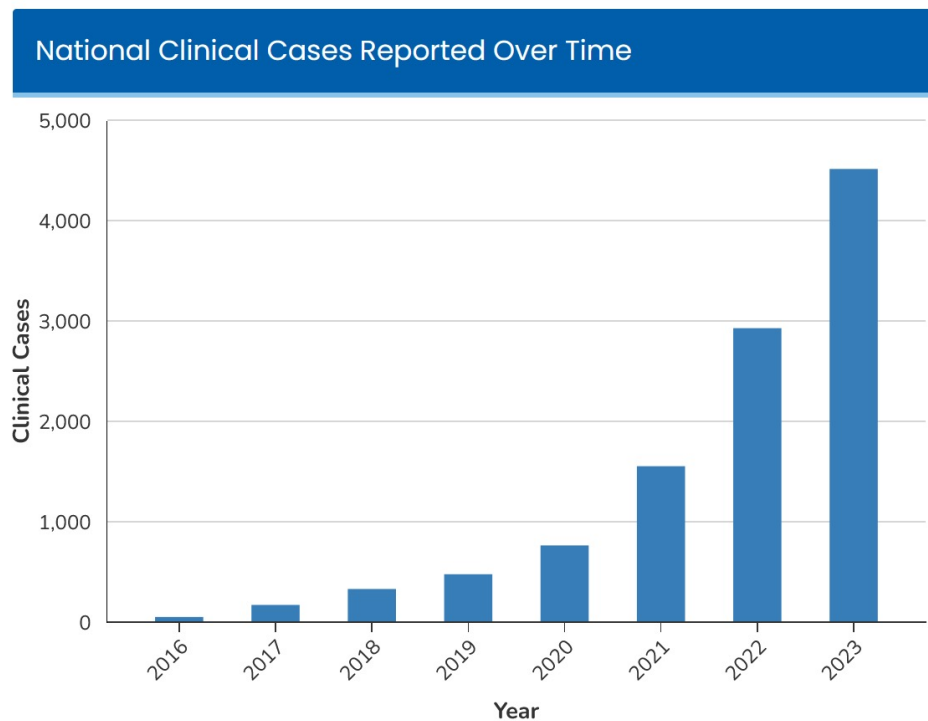
A)

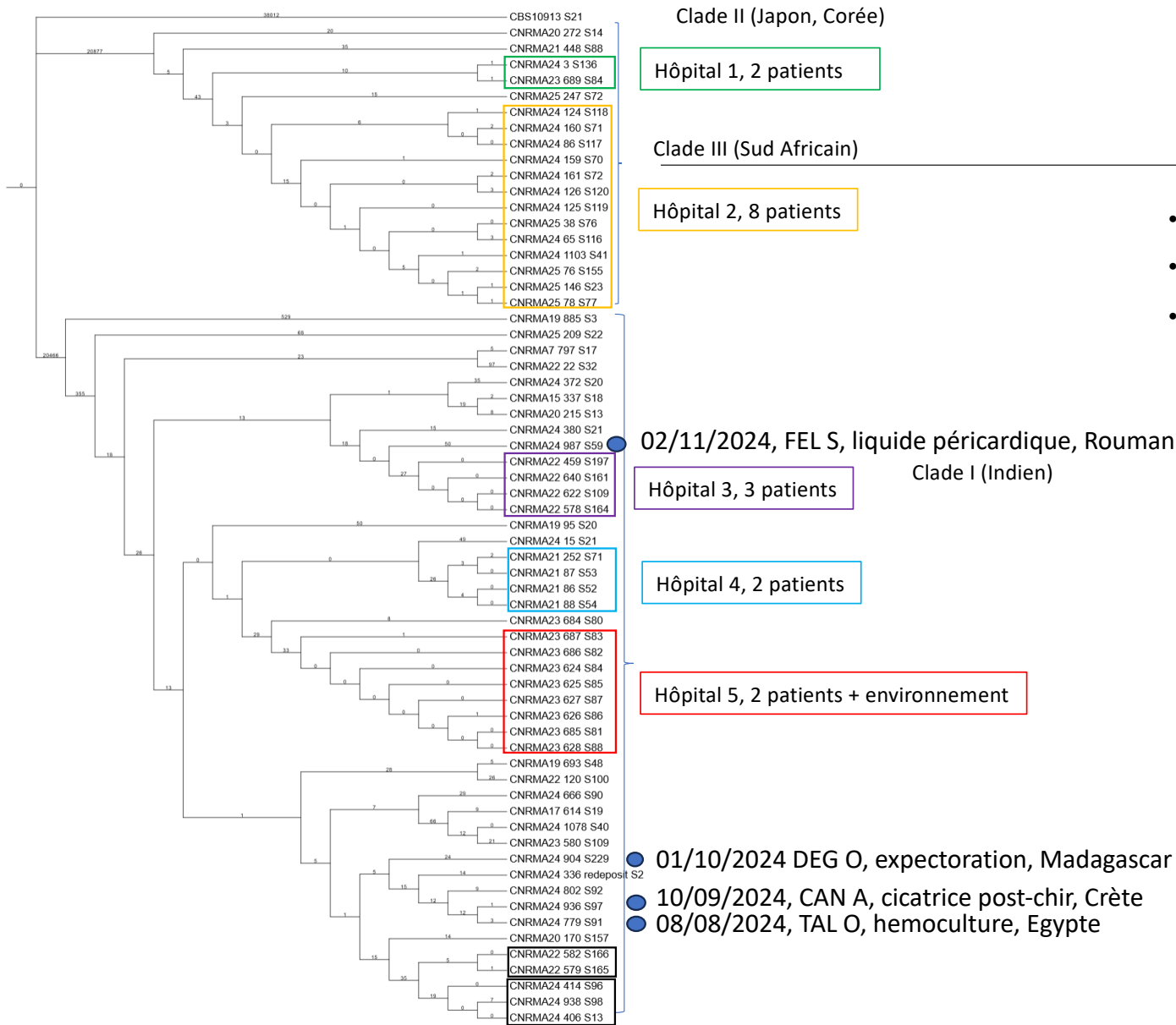


B)



Cas recensés aux Etats-Unis, données CDC





- Plusieurs isolats pour un même patient
 - 3 souches de l'environnement
 - 64 souches séquencées (Illumina)

Conclusion

Levure émergente dont la prévalence reste limitée en France

Pose peu de problème si gestion efficace au départ incluant des outils performants

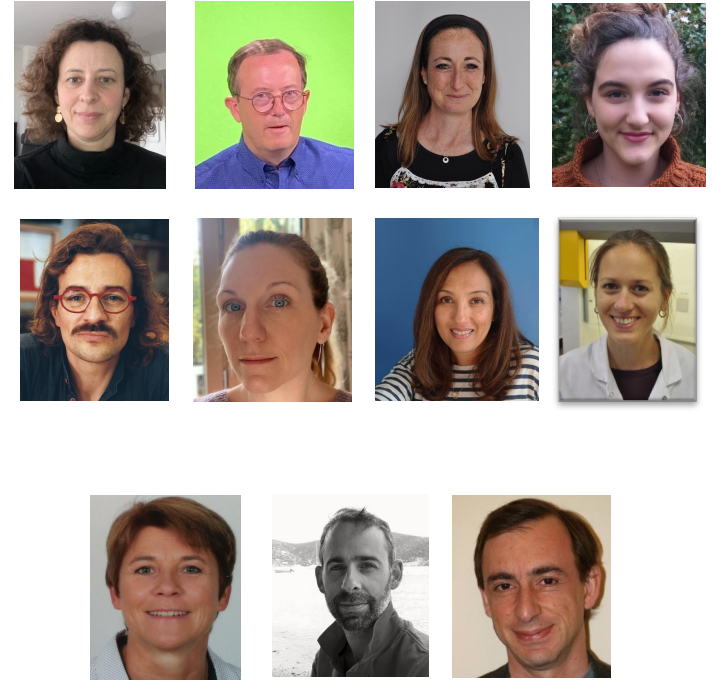
Peu de problème de surmortalité

Pas encore de problème de multirésistance

Remerciements

Equipe CNRMA-IFI

- **Fanny Lanternier:** Responsable
- **Alexandre Alanio:** Adjoint – *Resp. Groupe Recherche*
- **Olivier Lortholary:** Adjoint
- **Dea Garcia-Hermoso:** Adjoint
- **Marie Desnos-Olivier:** Adjoint
- **Karine Boukris-Sitbon :** Médecin étude clinique
- **Emilie Fruquière:** Technicienne
- **Nathalia Arrifana** Technicienne
- **Aude Sturny-Leclère:** Ingénierie *Groupe recherche*
- **Eric Dannaoui :** Collaborateur
- **Laurence Millon :** Collaborateur
- **Florent Morio:** Collaborateur



Hôpital Saint-Louis APHP

Médecins du CTB -> recommandation APHP

SFMM

SF2H

CLIN central APHP

Sandra Fournier -> recommandation APHP